

# Séminaire de tomographie ToRIID

CPE LYON, 02/02/2009

## **TOMOGRAPHIE PAR DIFFUSION : LE PROBLEME DE L'ATTENUATION**

**A. Peterzol**

**Projet  
SPIDERS**



# **TOMOGRAPHIE PAR DIFFUSION : LE PROBLEME DE L'ATTENUATION**

## **I. INTRODUCTION AU SUJET**

**(formules et géométrie de la tomographie par diffusion)**

## **II. SOLUTIONS EXISTANTES :**

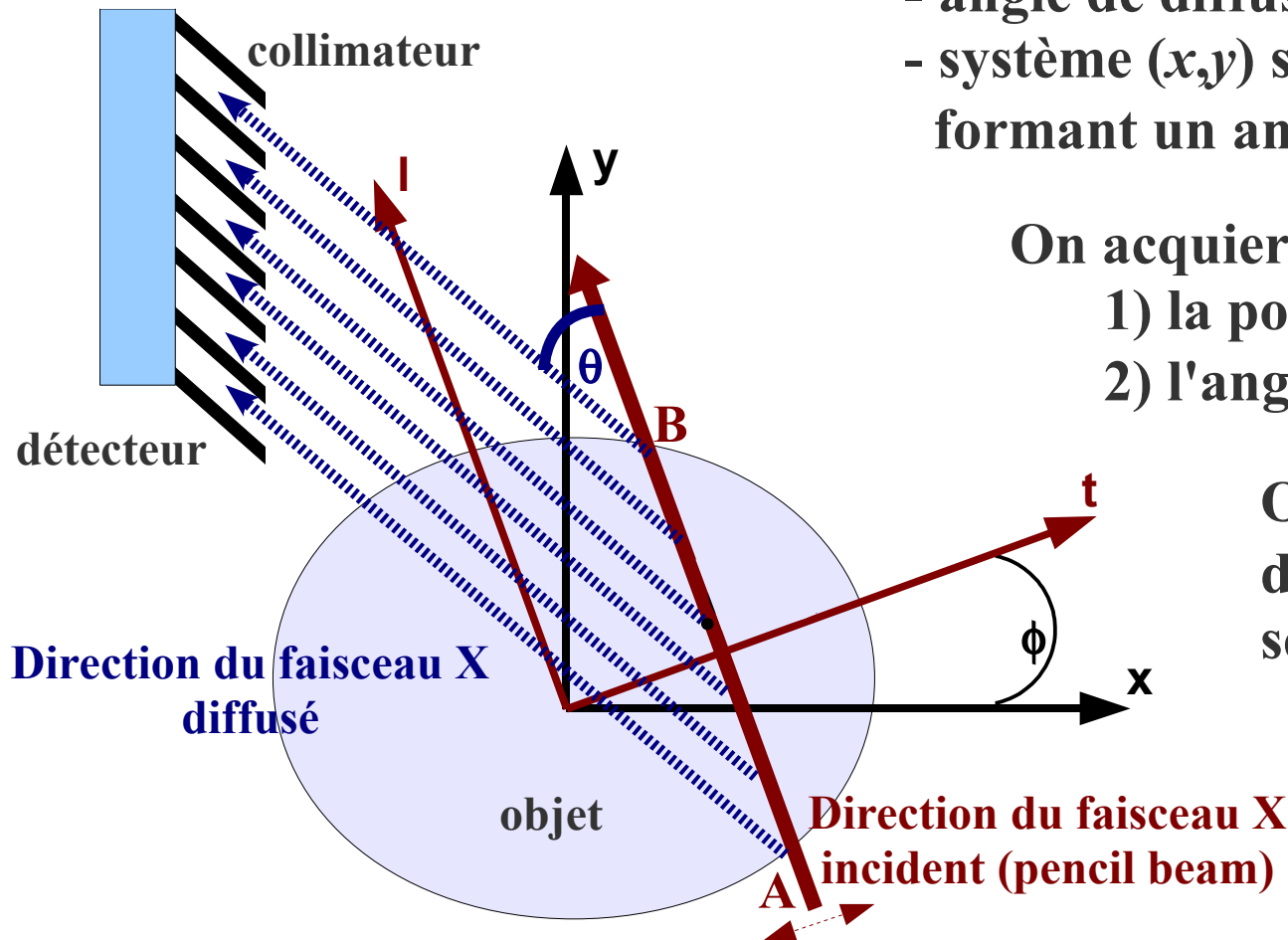
**a) Petits angles**

**b) Grands angles**

## **III. NOTRE APPROCHE (travail en cours)**

## **IV. TRAVAUX FUTURS**

**Définition de la Géométrie**

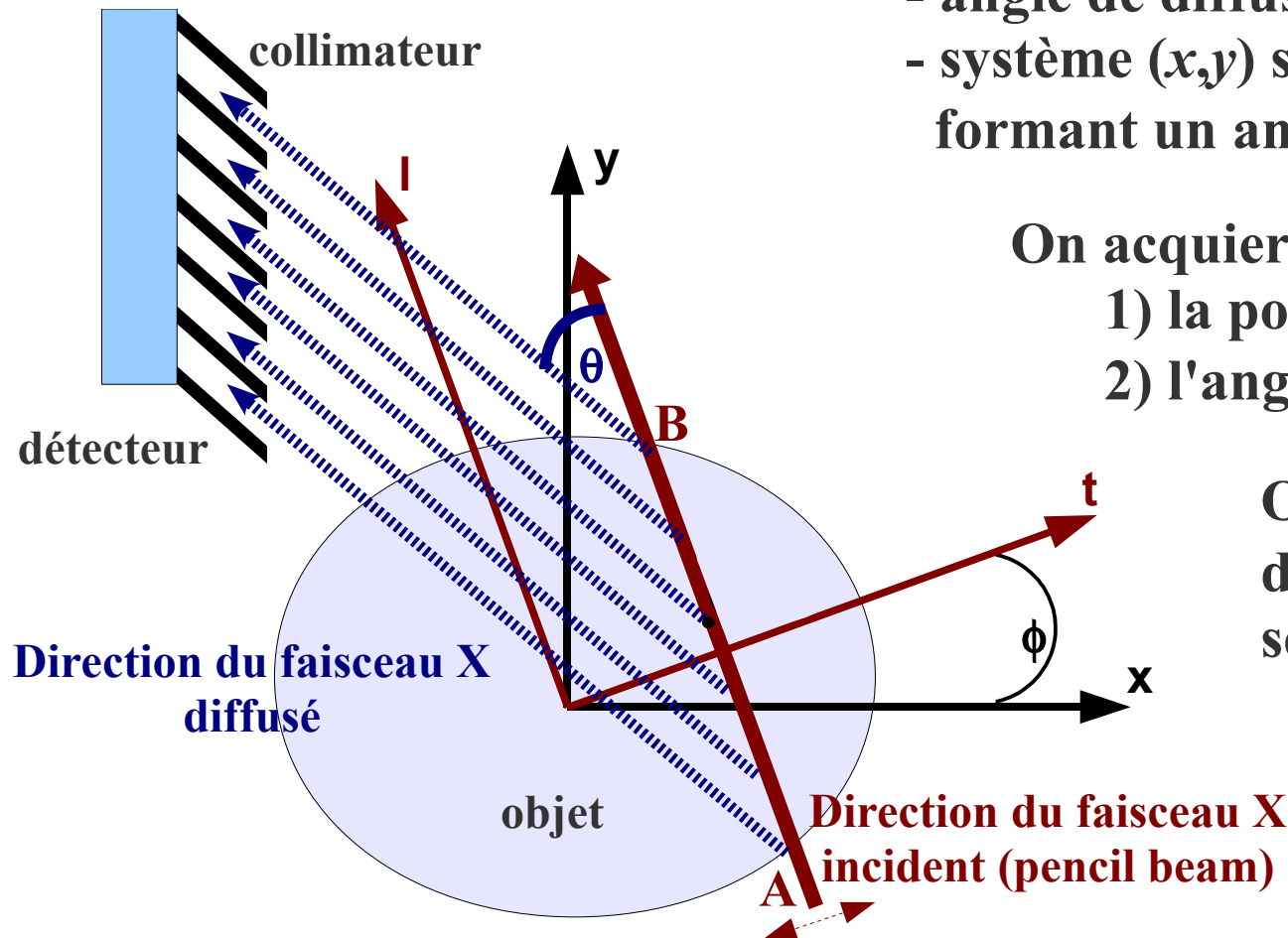


- système  $(t, l)$  fixe
- faisceau incident est translaté suivant  $t$
- angle de diffusion  $\theta$  fixe
- système  $(x, y)$  solidaire avec l'objet et formant un angle  $\phi$  avec le système  $(t, l)$

On acquiert des signaux variant avec:  
1) la position  $t$  du faisceau  
2) l'angle  $\phi$  (on fait tourner l'objet)

On mesure tous les photons diffusés (à l'angle  $\theta$ ) par le segment  $AB$

**Définition de la Géométrie**



- système  $(t,l)$  fixe
- faisceau incident est translaté suivant  $t$
- angle de diffusion  $\theta$  fixe
- système  $(x,y)$  solidaire avec l'objet et formant un angle  $\phi$  avec le système  $(t,l)$

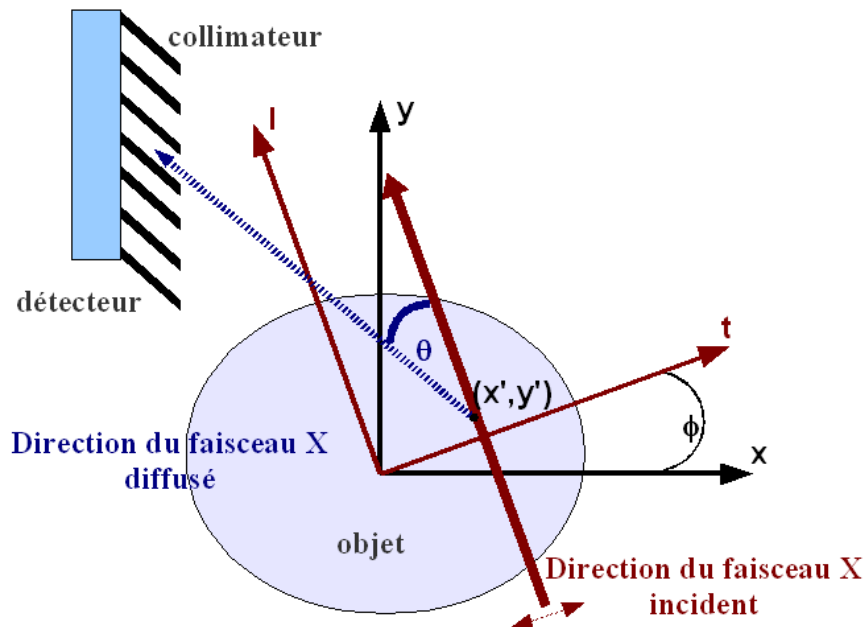
On acquiert des signaux variant avec:  
1) la position  $t$  du faisceau  
2) l'angle  $\phi$  (on fait tourner l'objet)

On mesure tous les photons diffusés (à l'angle  $\theta$ ) par le segment  $AB$

Hypothèse : faisceau monochromatique d'énergie  $E_0$

**Signal mesuré**

**Contribution au signal provenant du volume élémentaire  $\Delta V = dSdl$  en  $(x',y')$  :**



- 1) atténuation du faisceau incident jusqu'au volume élémentaire en  $(x',y')$**
- 2) diffusion du faisceau par le volume élémentaire en  $(x',y')$  selon la direction  $\vartheta$  et dans l'angle solide  $\Delta\Omega$  vu par le détecteur**
- 3) atténuation du faisceau diffusé à partir de  $(x',y')$  et jusqu'au détecteur**

### Signal mesuré

Contribution au signal provenant du volume élémentaire  $\Delta V = dSdl$  en  $(x',y')$  :

1) atténuation du faisceau incident jusqu'au volume élémentaire en  $(x',y')$

$$I(x', y', \phi) = I_0 * \exp\left(-\int_{-\infty}^{l'(x', y')} \mu(x, y) dl\right) = I_0 * \alpha(x', y', \phi)$$

( $\phi, t$ ) line

$\alpha(x', y', \phi)$

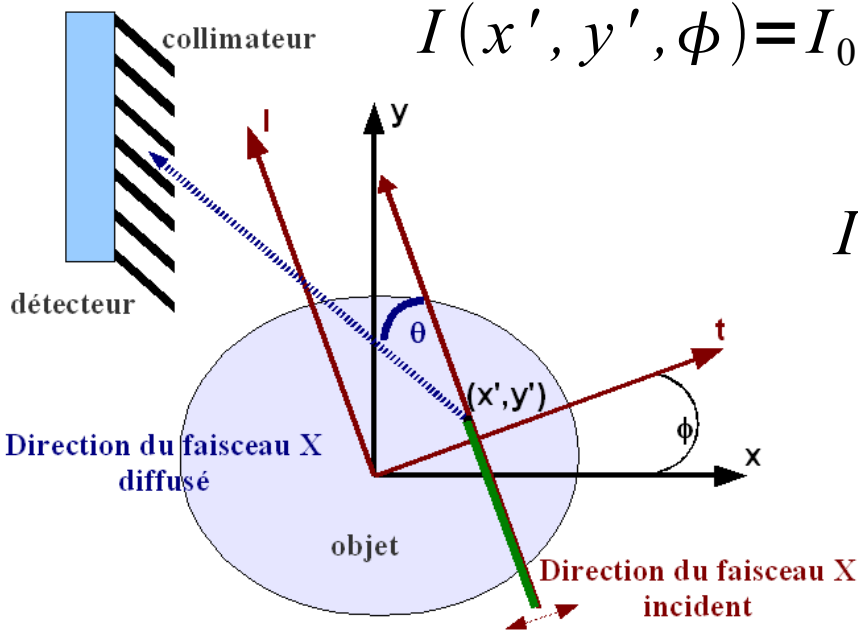
$I(x', y', \phi)$ :  $N_{\text{bre}}$  de photons par unité de temps sur  $dS$  en  $(x',y')$  suivant la ligne  $(\phi, t)$

$I_0$ :  $N_{\text{bre}}$  de photons inc. par unité de temps sur  $dS$

$\mu(x, y)$ : coefficient d'atténuation linéique (à  $E_0$ )

$\alpha(x', y', \phi)$  : atténuation jusqu'au  $(x',y')$

NB  $\alpha$  est fonction du point et de la direction du faisceau incident



**Signal mesuré**

**Contribution au signal provenant du volume élémentaire  $\Delta V = dSdl$  en  $(x',y')$  :**

**2) diffusion du faisceau par le volume élémentaire en  $(x',y')$  selon la direction  $\vartheta$  et dans l'angle solide  $\Delta\Omega$**

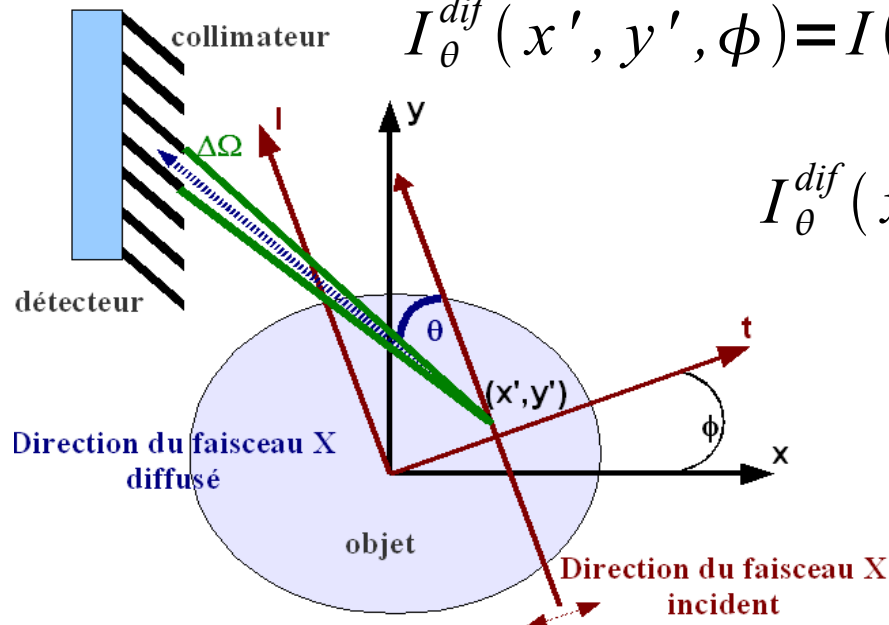
$$I_{\theta}^{dif}(x', y', \phi) = I(x', y', \phi) * \frac{d}{d\Omega} \sigma(x', y', \theta) n(x', y') \Delta\Omega dl$$

$I_{\theta}^{dif}(x', y', \phi)$ :  $N_{bre}$  de photons diffusés par unité de temps en  $(x',y')$  selon l'angle  $\theta$  et dans  $\Delta\Omega$

$\frac{d}{d\Omega} \sigma(x', y', \theta)$ : section efficace différentielle

$n(x', y')$ :  $N_{bre}$  de centres diffusants / unité de  $\Delta V$

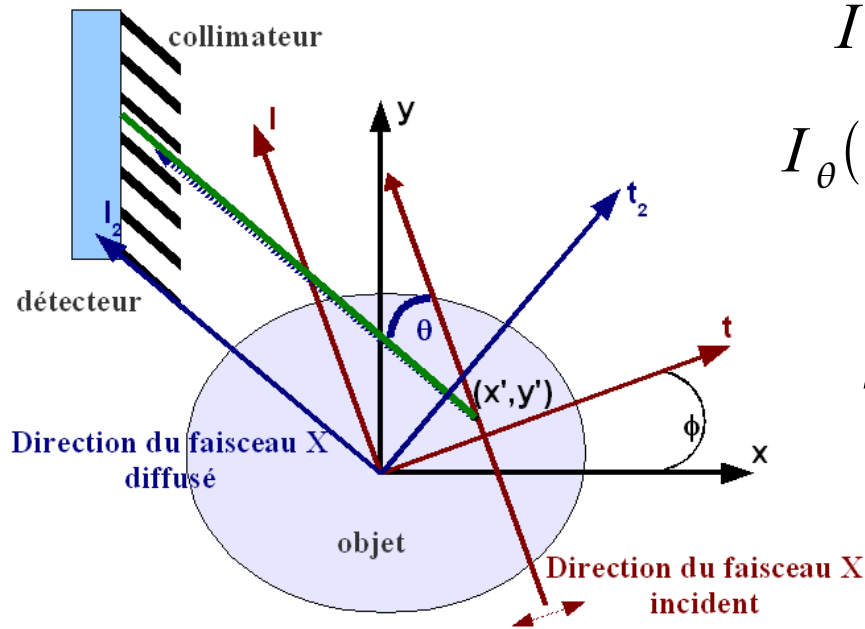
définissons :  $\frac{d}{d\Omega} \sigma(x', y', \theta) n(x', y') = \sigma(x', y', \theta)$



**Signal mesuré**

**Contribution au signal provenant du volume élémentaire  $\Delta V = dSdl$  en  $(x',y')$  :**

**3) atténuation du faisceau diffusé à partir du  $(x',y')$  et jusqu'au détecteur**



$$I_{\theta}(x', y', \phi) = I_{\theta}^{dif}(x', y', \phi) * \beta(x', y', \theta, \phi)$$

$I_{\theta}(x', y', \phi)$ :  $N_{bre}$  de photons diffusés par unité de  $\Delta t$  en  $(x',y')$  selon  $\theta$ , dans  $\Delta\Omega$  et «détectés»

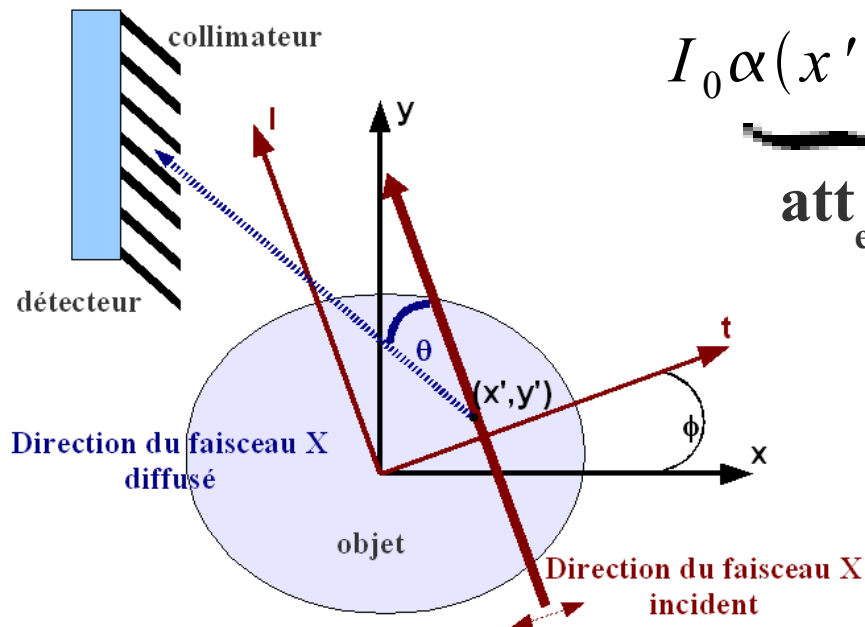
$$\beta(x', y', \theta, \phi) = \exp\left(-\int_{l_2'(x', y')}^{+\infty} \mu(x, y) dl_2\right)$$

( $\phi+\theta, t_2$ ) line

**NB  $\beta$  est fonction du point  $(x',y')$  et de la direction du faisceau diffusé ( $l_2$ )**

### Signal mesuré

Contribution au signal provenant du volume élémentaire  $\Delta V = dSdl$  en  $(x',y')$  :



$$I_0 \underbrace{\alpha(x', y', \phi)}_{\text{att}_{\text{entrée}}} * \underbrace{\sigma(x', y', \theta)}_{\text{prob}_{\text{diff}}} \Delta \Omega dl * \underbrace{\beta(x', y', \theta, \phi)}_{\text{att}_{\text{sortie}}}$$

**Le but de la mesure : remonter à une « cartographie » de la fonction  $\sigma(x,y,\theta)$**

### Signal mesuré

**Signal dû au segment  $AB$  = addition des signaux provenant de tous les points  $(x,y)$  sur le segment :**

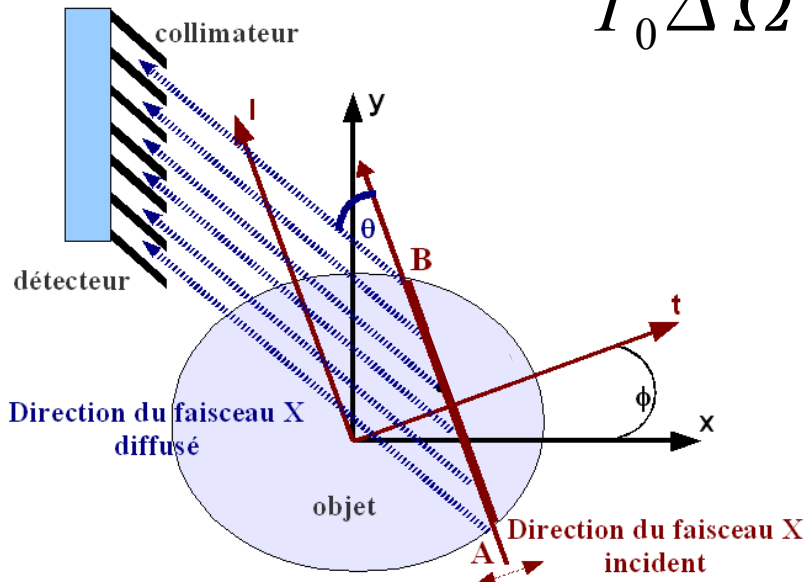
$$I_{\theta}(\phi, t) = I_0 \Delta \Omega \int_{-\infty}^{+\infty} \alpha(x, y, \phi) \sigma_{\theta}(x, y) \beta_{\theta}(x, y, \phi) dl$$

( $\phi, t$ ) line

$$\frac{I_{\theta}(\phi, t)}{I_0 \Delta \Omega} = \int_{-\infty}^{+\infty} \alpha(x, y, \phi) \sigma_{\theta}(x, y) \beta_{\theta}(x, y, \phi) dl$$

( $\phi, t$ ) line

$$= p_{\theta}(\phi, t)$$



- hypothèse implicite :  $\Delta \Omega$  ne dépend pas du point  $(x,y)$
- on travaille à angle de diffusion  $\vartheta$  constant

**Signal mesuré**

**Signal dû au segment  $AB$  = addition des signaux provenant de tous les points  $(x,y)$  sur le segment :**

$$I_{\theta}(\phi, t) = I_0 \Delta \Omega \int_{-\infty}^{+\infty} \alpha(x, y, \phi) \sigma_{\theta}(x, y) \beta_{\theta}(x, y, \phi) dl$$

( $\phi, t$ ) line

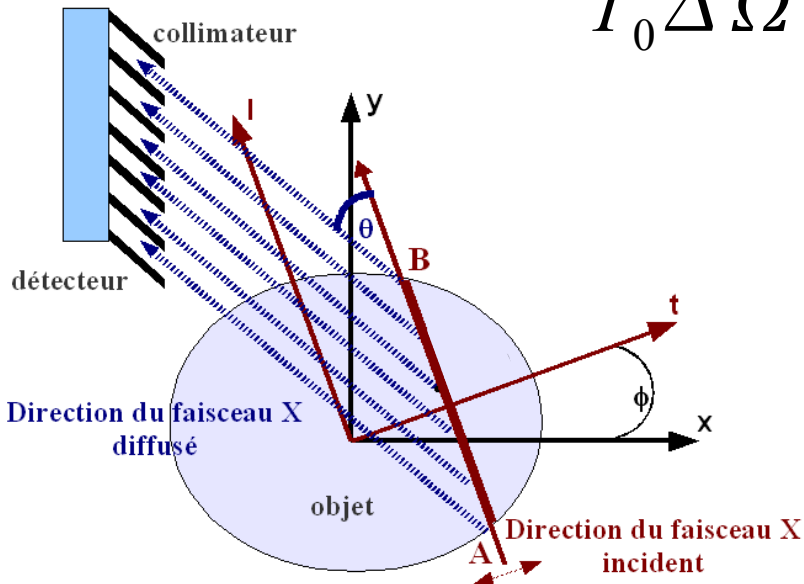
$$\frac{I_{\theta}(\phi, t)}{I_0 \Delta \Omega} = \int_{-\infty}^{+\infty} \alpha(x, y, \phi) \sigma_{\theta}(x, y) \beta_{\theta}(x, y, \phi) dl$$

( $\phi, t$ ) line

$$= p_{\theta}(\phi, t)$$

**transformée de Radon de  $f = \alpha\sigma\beta$  ?**

- hypothèse implicite :  $\Delta\Omega$  ne dépend pas du point  $(x,y)$
- on travaille à angle de diffusion  $\vartheta$  constant



Signal mesuré

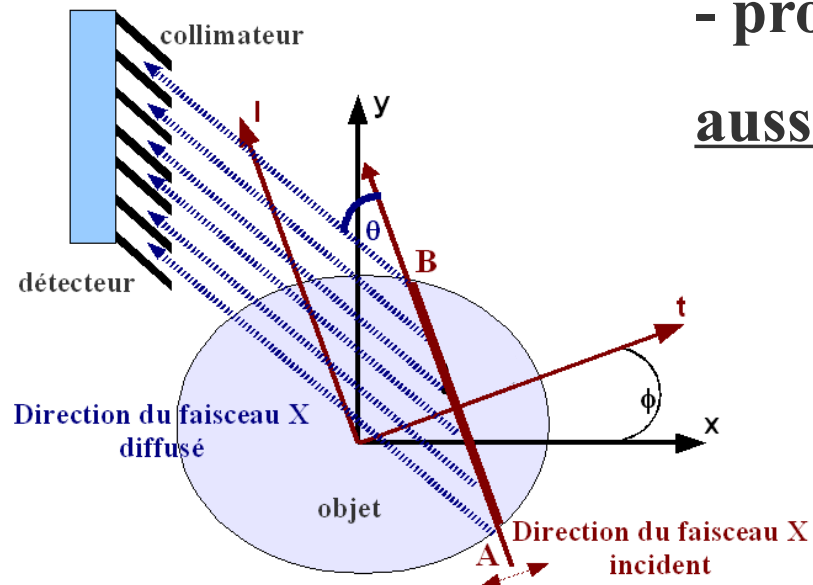
Peut-on assimiler notre mesure à la transformée de Radon de  $f(x,y)$  ?

$$p_{\theta}(\phi, t) = \int_{-\infty}^{+\infty} \alpha(x, y, \phi) \sigma_{\theta}(x, y) \beta_{\theta}(x, y, \phi) dl$$

( $\phi, t$ ) line

Réponse : **NON**

- problème :  $\alpha$  et  $\beta$  dépendent du point  $(x,y)$  et aussi de la direction de la ligne d'intégration



Signal mesuré

Peut-on assimiler notre mesure à la transformée de Radon de  $f(x,y)$  ?

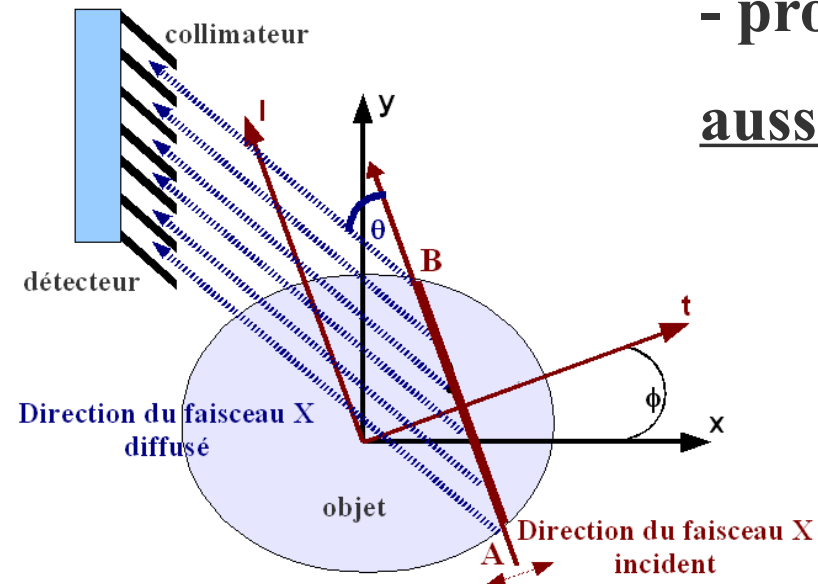
$$p_{\theta}(\phi, t) = \int_{-\infty}^{+\infty} \alpha(x, y, \phi) \sigma_{\theta}(x, y) \beta_{\theta}(x, y, \phi) dl$$

( $\phi, t$ ) line

Réponse : **NON**

- problème :  $\alpha$  et  $\beta$  dépendent du point  $(x,y)$  et aussi de la direction de la ligne d'intégration

Quelle solution ?



# **TOMOGRAPHIE PAR DIFFUSION : LE PROBLEME DE L'ATTENUATION**

## **I. INTRODUCTION AU SUJET**

**(formules et géométrie de la tomographie par diffusion)**

## **II. SOLUTIONS EXISTANTES :**

**a) Petits angles**

**b) Grands angles**

## **III. NOTRE APPROCHE (travail en cours)**

## **IV. TRAVAUX FUTURS**

**Signal mesuré**

$$p_{\theta}(\phi, t) = \int_{-\infty}^{+\infty} \alpha(x, y, \phi) \sigma_{\theta}(x, y) \beta_{\theta}(x, y, \phi) dl$$

( $\phi, t$ ) line

**Solution « ordre 0 »** : on considère un objet petit et « léger » :  
on néglige l'atténuation ( $\alpha$  et  $\beta$ )

$$p_{\theta}(\phi, t) = \int_{-\infty}^{+\infty} \sigma_{\theta}(x, y) dl$$

( $\phi, t$ ) line

$p_{\theta}(\phi, t)$  est l'intégrale de ligne de la fonction  $\sigma_{\theta}(x, y)$   
(transformée de Radon)



on peut appliquer l'algorithme « filtered back projection (FBP) » sur l'ensemble  $\{p_{\theta}(\phi, t)\}$

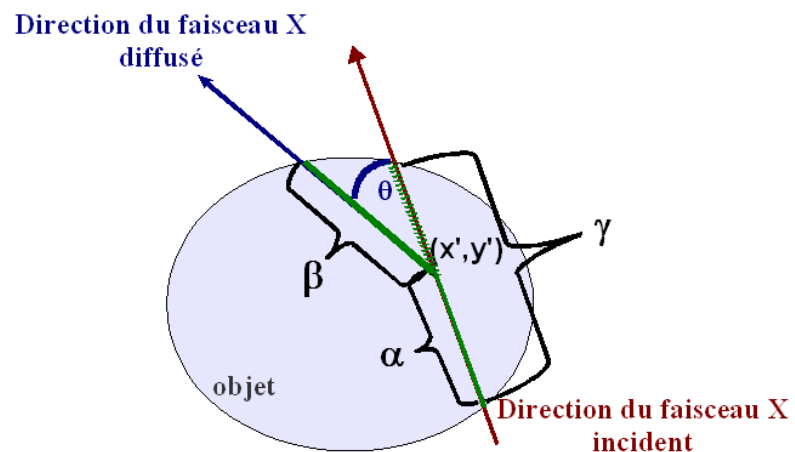
### Signal mesuré

$$p_{\theta}(\phi, t) = \int_{-\infty}^{+\infty} \alpha(x, y, \phi) \sigma_{\theta}(x, y) \beta_{\theta}(x, y, \phi) dl$$

( $\phi, t$ ) line

**Solution « ordre 1 » :** on considère que l'atténuation totale ( $\alpha * \beta$ ) est équivalente à l'atténuation par transmission :

$\alpha(x', y', \phi) \beta_{\theta}(x', y', \phi) = \gamma_{\theta}(\phi, t)$  approximation valide pour  $\theta$  petit (diffusion Rayleigh et diffraction)



$$\frac{p_{\theta}(\phi, t)}{\gamma_{\theta}(\phi, t)} = \int_{-\infty}^{+\infty} \sigma_{\theta}(x, y) dl$$

( $\phi, t$ ) line

$p_{\theta}(\phi, t) / \gamma_{\theta}(\phi, t) =$  intégrale de ligne de  $\sigma_{\theta}(x, y)$   
 → on peut appliquer l'algorithme FBP

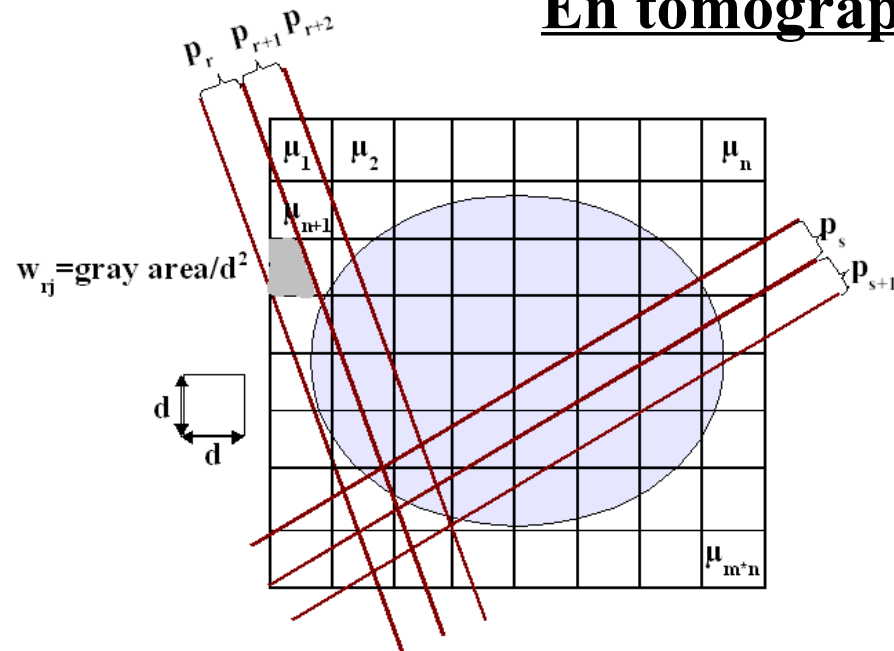
### Signal mesuré

$$p_{\theta}(\phi, t) = \int_{-\infty}^{+\infty} \alpha(x, y, \phi) \sigma_{\theta}(x, y) \beta_{\theta}(x, y, \phi) dl$$

( $\phi, t$ ) line

Solution « ordre 2 » : utiliser des techniques algébriques (ART)

### En tomographie par transmission:



$$p_s = \sum_j w_{sj} \mu_j \quad s=1,2,\dots,S \quad j=1,2,\dots,N$$

**S:**  $N_{\text{bre}}$  de projections; **N:**  $N_{\text{bre}}$  de pixels

**Il faut résoudre le système de S équations linéaires**

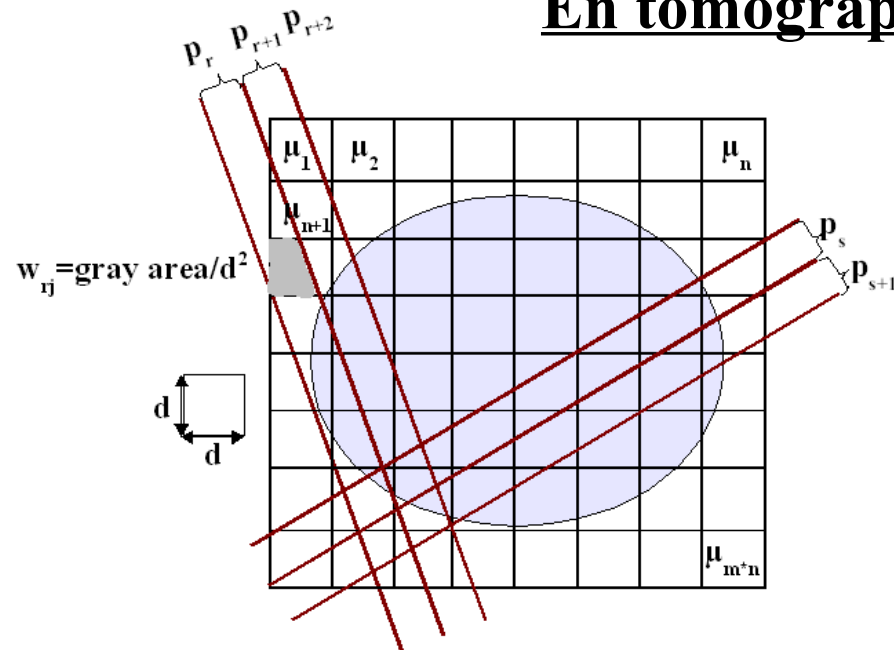
### Signal mesuré

$$p_{\theta}(\phi, t) = \int_{-\infty}^{+\infty} \alpha(x, y, \phi) \sigma_{\theta}(x, y) \beta_{\theta}(x, y, \phi) dl$$

( $\phi, t$ ) line

Solution « ordre 2 » : utiliser des techniques algébriques (ART)

### En tomographie par transmission:



$$p_s = \sum_j w_{sj} \mu_j \quad s=1,2,\dots,S \quad j=1,2,\dots,N$$

**S:**  $N_{bre}$  de projections; **N:**  $N_{bre}$  de pixels

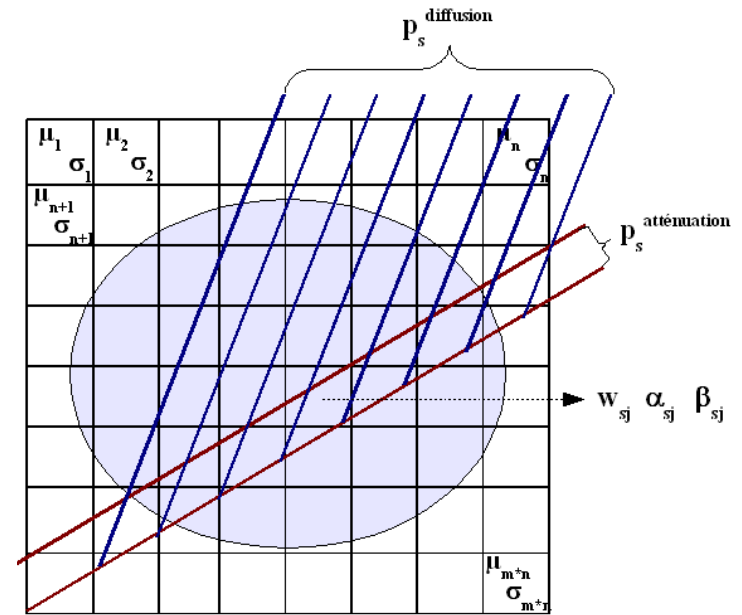
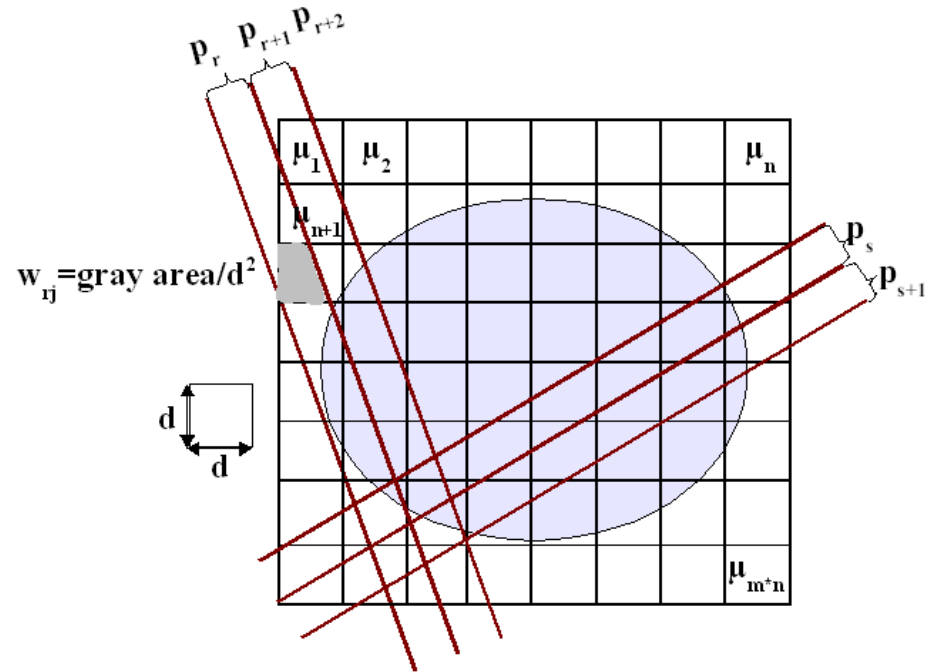
**Il faut résoudre le système de S équations linéaires**

**Idée : appliquer la même approche en tomographie par diffusion [Grant 1995]**

Solution « ordre 2 » : utiliser des techniques algébriques (ART)

tomographie par transmission:

tomographie par diffusion:



$$p_s^{attenuation} = \sum_j w_{sj} \mu_j$$

$$p_s^{diffusion} = \sum_j w_{sj} \alpha_{sj} \beta_{sj} \sigma_j$$

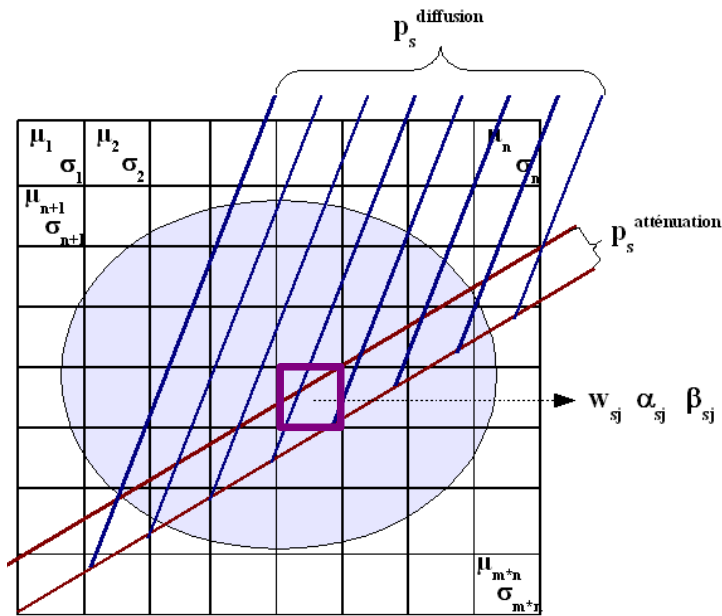
$$\alpha_{sj} = \exp\left(-\sum_i w_{sji}^{ent} \mu_i\right)$$

$$\beta_{sj} = \exp\left(-\sum_i w_{sji}^{sor} \mu_i\right)$$

$$s=1,2,\dots,S$$

$$j=1,2,\dots,N$$

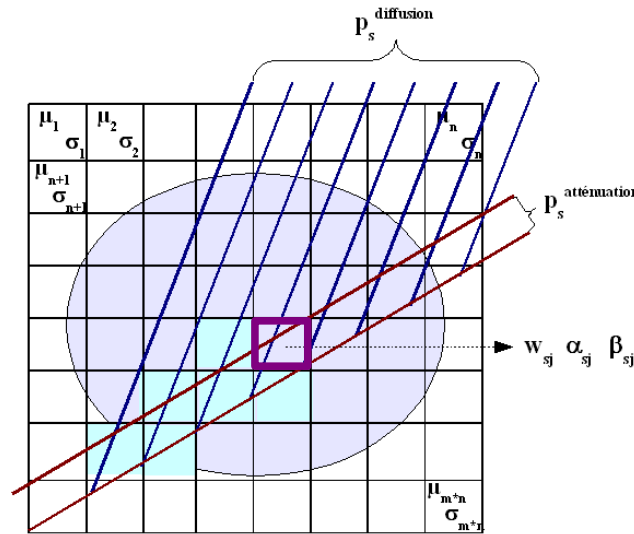
Solution « ordre 2 » : utiliser des techniques algébriques (ART) pour la tomographie par diffusion:



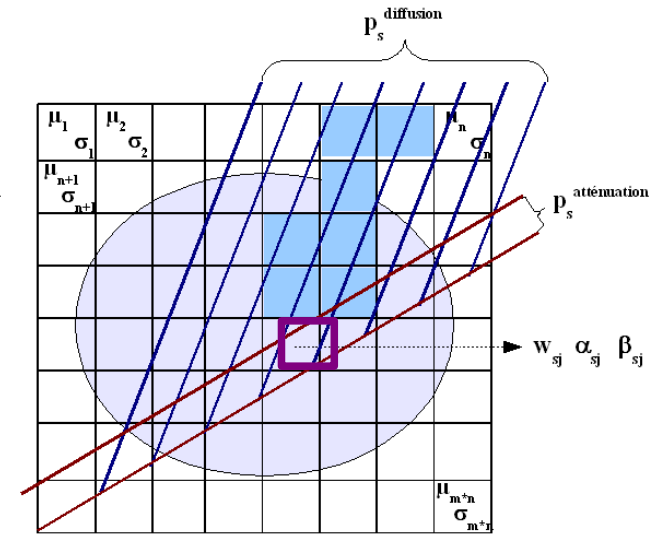
$$p_s^{diffusion} = \sum_j w_{sj} \alpha_{sj} \beta_{sj} \sigma_j$$

$$\alpha_{sj} = \exp\left(-\sum_i w_{sji}^{ent} \mu_i\right)$$

$$\beta_{sj} = \exp\left(-\sum_i w_{sji}^{sor} \mu_i\right)$$

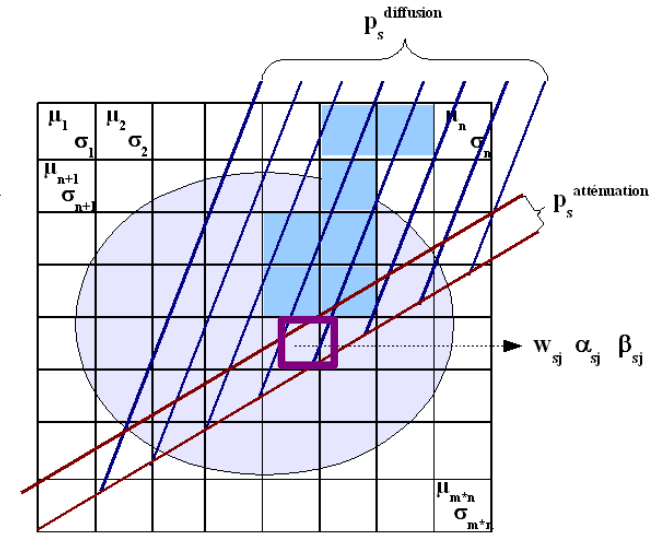
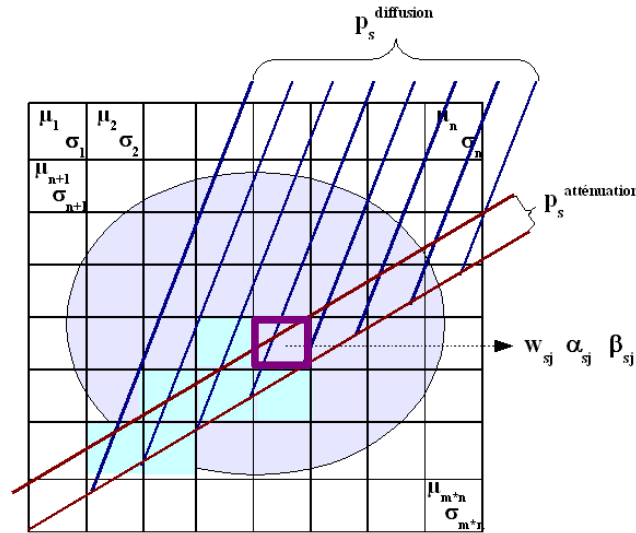
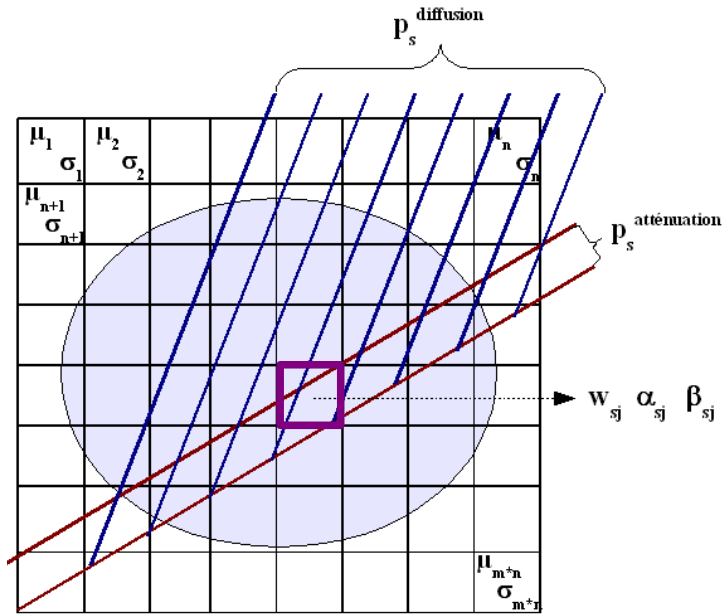


$$w_{sji}^{ent} \neq 0$$



$$w_{sji}^{sor} \neq 0$$

Solution « ordre 2 » : utiliser des techniques algébriques (ART) pour la tomographie par diffusion:



$$p_s^{diffusion} = \sum_j w_{sj} \alpha_{sj} \beta_{sj} \sigma_j$$

$$\left. \begin{aligned} \alpha_{sj} &= \exp\left(-\sum_i w_{sji}^{ent} \mu_i\right) \\ \beta_{sj} &= \exp\left(-\sum_i w_{sji}^{sor} \mu_i\right) \end{aligned} \right\}$$

$$w_{sji}^{ent} \neq 0$$

$$w_{sji}^{sor} \neq 0$$

il faut connaître la distribution de  $\mu$  ( $\mu_i$ ,  $i=1,2,\dots,N$ )

## **SOLUTIONS EXISTANTES :**

- **Solution « ordre 0 »** : on néglige l'atténuation ( $\alpha$  et  $\beta$ )
  - + : facile à utiliser
  - : valide que pour des objets petits et légers
  
- **Solution « ordre 1 »** : on considère que l'atténuation totale ( $\alpha * \beta$ ) est équivalente à l'atténuation par transmission :
  - : il faut faire des mesures d'atténuation
  - + : valide pour objets de grande taille
  - : valide uniquement pour petits angles  
(et  $\mu$  peu variable )
  
- **Solution « ordre 2 »** : utiliser des techniques algébriques
  - : il faut connaître la distribution de  $\mu$  ( $\mu(x,y)$ )
  - + : valide pour objets de grande taille
  - + : valide pour tous les angles

**SOLUTIONS EXISTANTES :**

- **Solution « ordre 0 »** : on néglige l'atténuation ( $\alpha$  et  $\beta$ )
    - + : facile à utiliser
    - : valide que pour des objets petits et légers
  - **Solution « ordre 1 »** : on considère que l'atténuation totale ( $\alpha * \beta$ ) est équivalente à l'atténuation par transmission :
    - : il faut faire des mesures d'atténuation
    - + : valide pour objets de grande taille
    - : valide uniquement pour petits angles  
(et  $\mu$  peu variable )
  - **Solution « ordre 2 »** : utiliser des techniques algébriques
    - : il faut connaître la distribution de  $\mu$  ( $\mu(x,y)$ )
    - + : valide pour objets de grande taille
    - + : valide pour tous les angles
- } **F**  
} **B**  
} **P**  
} **A**  
} **R**  
} **T**

**SOLUTIONS EXISTANTES :**

- **Solution « ordre 0 »** : on néglige l'atténuation ( $\alpha$  et  $\beta$ )
    - + : facile à utiliser
    - : valide que pour des objets petits et légers
  - **Solution « ordre 1 »** : on considère que l'atténuation totale ( $\alpha * \beta$ ) est équivalente à l'atténuation par transmission :
    - : il faut faire des mesures d'atténuation
    - + : valide pour objets de grande taille
    - : valide uniquement pour petits angles  
(et  $\mu$  peu variable )
  - **Solution « ordre 2 »** : utiliser des techniques algébriques
    - : il faut connaître la distribution de  $\mu$  ( $\mu(x,y)$ )
    - + : valide pour objets de grande taille
    - + : valide pour tous les angles
    - : couteuse en temps de calcul
- F  
B  
P  
A  
R  
T

# **TOMOGRAPHIE PAR DIFFUSION : LE PROBLEME DE L'ATTENUATION**

## **I. INTRODUCTION AU SUJET**

**(formules et géométrie de la tomographie par diffusion)**

## **II. SOLUTIONS EXISTANTES :**

**a) Petits angles**

**b) Grands angles**

## **III. NOTRE APPROCHE (travail en cours)**

## **IV. TRAVAUX FUTURS**

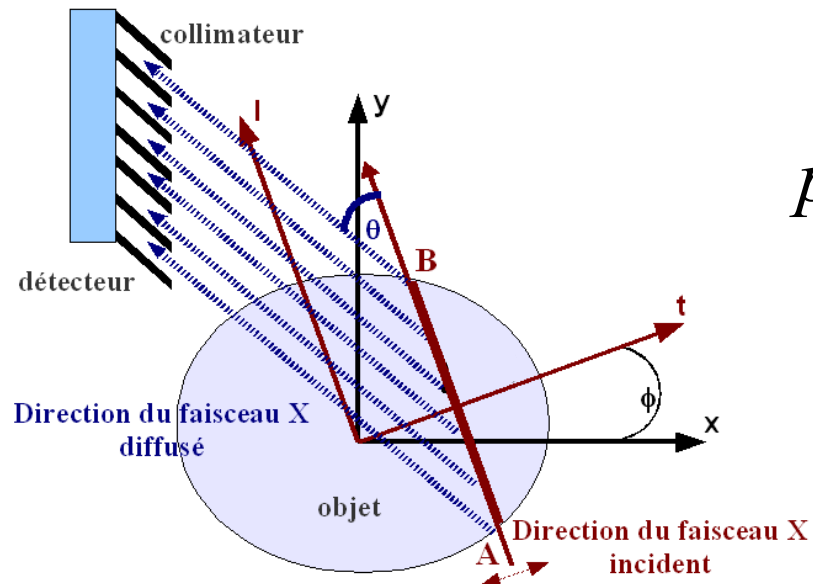
- Solution « ordre 2 » :
- il faut connaître a priori la distribution de  $\mu$
  - on utilise des techniques algébriques

- Notre idée :
- on suppose de connaître la distribution de  $\mu \rightarrow$
  - est-on obligé d'utiliser l'approche algébrique ?
  - peut-on utiliser la FBP ?

Signal mesuré : 
$$p_{\theta}(\phi, t) = \int_{(\phi, t) \text{ line}}^{+\infty} \alpha(x, y, \phi) \sigma_{\theta}(x, y) \beta_{\theta}(x, y, \phi) dl$$

$p_{\theta}(\phi, t)$  n'est pas la transformée de Radon de une fonction  $f(x, y)$

- peut-on utiliser la FBP ?





$$1) \quad p_{\theta}(\phi, t) = \int_{-\infty}^{+\infty} g_{\theta}(x, y, \phi) dl_{(\phi, t) \text{ line}}$$

$$2) \quad g_{\theta}(x, y, \phi) = \sigma_{\theta}(x, y) a_{\theta}(x, y, \phi)$$

$$3) \quad G_{\theta}(u, v, \phi) = \iint g_{\theta}(x, y, \phi) e^{-2\pi i(ux+vy)} dx dy \quad : \text{ FT 2D de } g_{\theta}(x, y, \phi) \text{ en } (x, y)$$

$$4) \quad P_{\theta}(\phi, w) = \int p_{\theta}(\phi, t) e^{-2\pi i w t} dt \quad : \text{ FT 1D de } p_{\theta}(\phi, t) \text{ en } t$$

$$5) \quad P_{\theta}(\phi, w) = G_{\theta}(u = w \cos \phi, v = w \sin \phi, \phi) \quad : \text{ FT 1D de } p_{\theta}(\phi, t) \text{ en } t = \text{ FT 2D de } g_{\theta}(x, y, \phi) \\ P_{\theta}(\phi, w) = G_{\theta}(u, v, \phi = \text{atan}(v/u)) \quad \text{en } (x, y) \text{ pour un sous-ensemble de } \phi$$

**Qu'est-ce qu'on obtient si on calcule la FT<sup>inverse</sup> 2D de  $G_{\theta}(u, v, \phi = \text{atan}(u/v))$  en  $(u, v)$  ?**

Qu'est-ce qu'on obtient si on calcule la FT<sup>inverse</sup> 2D de  $G_\theta(u, v, \phi = \text{atan}(v/u))$  en  $(u, v)$  ?

$$6) \quad g_\theta'(x, y) = \iint G_\theta(u, v, \phi = \text{atan}(v/u)) e^{2\pi i(xu + yv)} du dv$$

$$7) \quad g_\theta'(x, y) \neq g_\theta(x, y, \phi) \quad \text{on perd la dépendance en } \phi \quad \left[ p_\theta(\phi, t) = \int_{-\infty}^{+\infty} g_\theta(x, y, \phi) dl \right. \\ \left. (\phi, t) \text{ line} \right]$$

$$8) \quad g_\theta'(x, y) = \sigma_\theta(x, y) a_\theta'(x, y) \quad \left[ g_\theta(x, y, \phi) = \sigma_\theta(x, y) a_\theta(x, y, \phi) \right]$$

**important : en appliquant la FBP aux profils mesurés, on peut remonter à  $\sigma(x, y)$**

$$9) \quad \sigma_\theta(x, y) = g_\theta'(x, y) / a_\theta'(x, y)$$

$$10) \quad a_\theta'(x, y) = \iint A_\theta(u, v, \phi = \text{atan}(v/u)) e^{2\pi i(xu + yv)} du dv$$

$$11) \quad A_\theta(u, v, \phi) = \iint a_\theta(x, y, \phi) e^{-2\pi i(ux + vy)} dx dy$$

### Méthode ART :

**Signal mesuré :**

$$p_s^\theta = \sum_j w_{sj} a_{sj}^\theta \sigma_j^\theta \quad s=1,2,\dots,S$$

**On calcule à partir d'une cartographie de  $\mu$  :**

$$a_{sj}^\theta = \alpha_{sj} \beta_{sj}^\theta$$

$\forall$  projection  $s$  et  
 $\forall$  point  $j$

**Procédure :**

résoudre le système de  
 $S$  équations linéaires

**Résultat :**

Cartographie de  $\sigma^\theta(j)$

### Méthode FBP « adaptée » :

$$p_\theta(\phi, t) = \int_{-\infty}^{+\infty} a_\theta(x, y, \phi) \sigma_\theta(x, y) dl \quad (\phi, t) \text{ line}$$

$$a_\theta(x, y, \phi) = \alpha(x, y, \phi) \beta_\theta(x, y, \phi)$$

$\forall$  projection  $(t, \phi)$  et  
 $\forall$  point  $(x, y)$

appliquer la FBP aux  
profils mesurés

Cartographie de  $\sigma_\theta(x, y) a_\theta'(x, y)$  (mais  
 $a_\theta'(x, y)$  est calculable à partir de  $a_\theta(x, y, \phi)$ )

## **IV. TRAVAUX FUTURS**

- valider la méthode FBP « adaptée » :  
(simulations et mesures)**
- comparer la méthode FBP « adaptée » avec l'approche ART  
(comparer le temps de calcul)**

**IV. TRAVAUX FUTURS**

- **valider la méthode FBP « adaptée » :**  
**(simulations et mesures)**
- **comparer la méthode FBP « adaptée » avec l'approche ART**  
**(comparer le temps de calcul)**

**MERCI DE VOTRE ATTENTION**